

УДК 539.186.

*В. И. Баткин, В. Н. Гетманов, О. Я. Савченко*

**РАССЕЯНИЕ ПУЧКА БЫСТРЫХ АТОМОВ ВОДОРОДА  
НА ГАЗОВЫХ МИШЕНЯХ**

При получении из пучка протонов быстрых атомов и отрицательных ионов водорода [1] фазовый объем пучка увеличивается из-за рассеяния быстрых частиц на газовой мишени. В настоящей работе описывается простая методика исследования такого рассеяния и приводятся экспериментальные данные по рассеянию пучка атомов водорода с энергиями 5–13 кэВ на газовых мишениях  $H_2$ , He, Ar, O<sub>2</sub>. Исследование проведено на установке [2], содержащей импульсный дуговой источник протонов, переаэризную трубку, импульсную газовую мишень и автоматизированную диагностическую систему с пролетной базой 1 м и угловым разрешением  $10^{-4}$  рад. Разработанный в [3, 4] метод формирования протонного пучка из плазменной струи дугового источника, охлаждающейся в процессе ее бесстолкновительного разлета, позволил получить поперечную температуру атомов водорода в пучке до нескольких десятков миллиэлектрон-вольт, что дало возможность фиксировать изменение поперечной энергии атомов водорода с точностью от 0,4 до 1 мэВ [5].

Схема эксперимента приведена на рис. 1. Исходный пучок атомов водорода, получаемых путем перезарядки протонов в газовой трубке, подается на первую пару пластин 1 щелевого детектора (ЩД), которая образует узкую щель шириной 150–500 мкм и формирует ленточный пучок. Между пластинами поддерживается разность потенциалов такая, что протонная компонента пучка отклоняется за пределы апертуры, а пучок быстрых атомов водорода проходит через газовую мишень 3 и зазор между второй парой пластин ЩД 4, используемой для разделения заряженной и нейтральной компонент пучка. Угловой разброс пучка после газовой мишени измерялся с помощью многопроволочного вторично-эмиссионного датчика (МВЭД) 5, расположенного на расстоянии 1045 мм от центра мишени. Датчик имеет 16 проволок из золоченого вольфрама диаметром 32 мкм, натянутых с шагом 1,25 мм. Данные с МВЭД оперативно обрабатываются на ЭВМ Электроника-100И [2]. В результате обработки определяется усредненный по 10–30 событиям профиль и параметры аппроксимирующей его гауссовской кривой. Угловой разброс

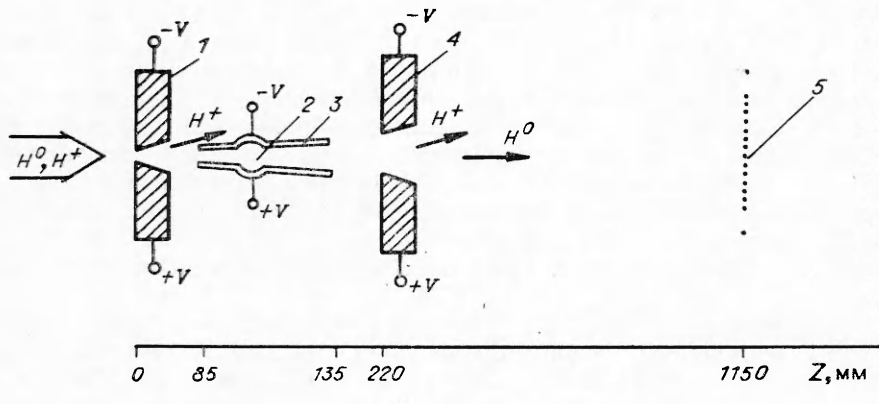


Рис. 1

© 1990 Баткин В. И., Гетманов В. Н., Савченко О. Я.

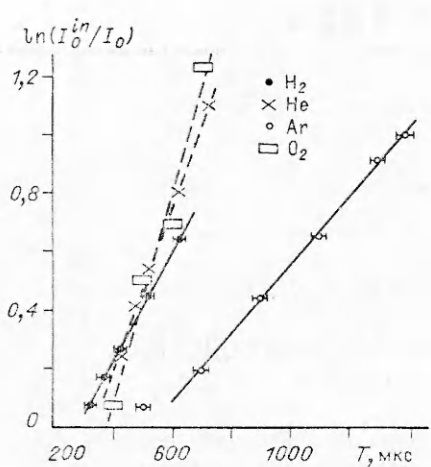


Рис. 2

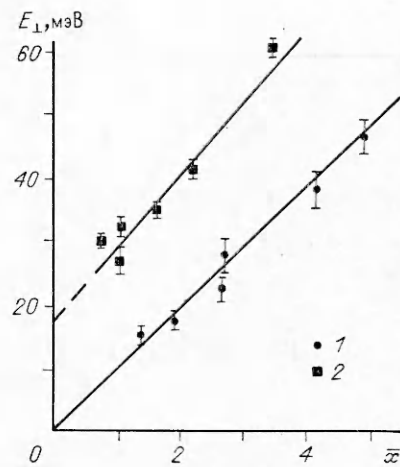


Рис. 3

в исходном пучке атомов водорода аппроксимируется с достоверностью  $P > 0,9$  гауссовой кривой со среднеквадратичным угловым разбросом от  $1,5(1 \pm 0,02) \cdot 10^{-3}$  до  $1,65(1 \pm 0,02) \cdot 10^{-3}$  рад, в зависимости от энергии. Газовая мишень создается импульсным напуском газа через цилиндрический канал 2 в пространство между двумя металлическими электродами, образующими узкую щель шириной 1 мм на входе и 3 мм на выходе мишени. Напуск газа осуществляется электромагнитным затвором в количестве  $3 \cdot 10^{16}$ — $3 \cdot 10^{17}$  молекул за импульс. Толщина мишени варьируется также изменением времени накопления газа в мишени до момента влета в нее пучка. Использованная конструкция позволяет накапливать газ в области мишени в течение  $\approx 400$  мкс для водорода и  $\approx 1000$  мкс для аргона.

Калибровка толщин газовых мишеней проводится следующим образом. На передней паре пластин ЩД устанавливается разность потенциалов, достаточная для отклонения  $H^+$ , и на мишень направляется чисто нейтральный пучок. В области мишени создается поперечное очищающее поле 2,5 кВ/см, в котором рождающиеся в процессе перезарядки протоны отклоняются и выбывают из пучка. В этом случае прошедший через мишень поток нейтралов

$$(1) \quad I_0 = I_0^{in} \exp(-\sigma^{01}x),$$

где  $I_0^{in}$  — исходный поток  $H^0$ ;  $x$  — толщина мишени;  $\sigma^{01}$  — сечение обедирки  $H^0$  в  $H^+$  [6—9]. Измеряя полный поток нейтралов на МВЭД дважды — в отсутствие мишени и с включенной мишенью, можно из (1) определить ее толщину. Из приведенных на рис. 2 зависимостей для разных мишеней  $\ln(I_0^{in}/I_0)$  от времени  $T$  между моментом запуска импульсного электромагнитного затвора и моментом формирования импульсного пучка видно, что толщина газовой мишени пропорциональна времени накопления газа. Соотношение (1) удобно для калибровки как тонких, так и толстых мишеней, поскольку точность калибровки не ограничивается процессом установления зарядового равновесия и не уменьшается с увеличением толщины мишени. В ряде случаев толщина мишени калибровалась и по отношению потоков  $H^0$  и  $H^+$  в пучке, устанавливающемуся после прохождения мишени. Оба способа калибровки дали одинаковые результаты.

Измерения углового разброса частиц в пучке проводились при наличии очищающего поля в области мишени и при его отсутствии. Первый случай соответствует процессу рассеяния без перезарядки, так как практически все появившиеся вследствие перезарядки протоны успевают до повторной перезарядки в нейтралы набрать в поперечном очищающем поле скорость, достаточную для отклонения за пределы апертуры датчи-

Таблица 1

| Мишень | Условия | $E$ , кэВ | $E_{\perp} = E_0 + kx$ |                |
|--------|---------|-----------|------------------------|----------------|
|        |         |           | $E_0$ , мэВ            | $k$ , мэВ      |
| $H_2$  | A       | 5,2       | 0                      | $4,2 \pm 0,4$  |
|        | A       | 10,4      | 0                      | $5,05 \pm 0,8$ |
|        | A       | 13,0      | 0                      | $5,9 \pm 1,0$  |
| He     | A       | 5,0       | 0                      | $7,5 \pm 1,8$  |
|        | A       | 13,0      | 0                      | $6,7 \pm 4,3$  |
| Ar     | A       | 5,0       | 0                      | $9,5 \pm 0,7$  |
|        | A       | 11,0      | 0                      | $4,8 \pm 0,4$  |
|        | B       | 9,0       | $18,1 \pm 2,1$         | $11,4 \pm 1,0$ |
| $O_2$  | A       | 11,2      | 0                      | $19,2 \pm 0,9$ |
|        | B       | 11,2      | $20,0 \pm 7,0$         | $14,4 \pm 3,2$ |

Таблица 2

| Мишень | $E$ , кэВ | Дифференциальные сечения рассеяния |                    |
|--------|-----------|------------------------------------|--------------------|
|        |           | A                                  | $\theta_0$ , мрад  |
| Ar     | 11,0      | $0,1(1 \pm 0,09)$                  | $3,55(1 \pm 0,43)$ |
| Ar     | 9,0       | $0,36(1 \pm 0,21)$                 | $4,5(1 \pm 0,36)$  |
| $H_2$  | 8,3       | $0,24(1 \pm 0,12)$                 | $4,4(1 \pm 0,22)$  |
| He     | 8,4       | $0,28(1 \pm 0,29)$                 | $5,6(1 \pm 0,22)$  |

ка МВЭД. Он описывается схемой  $H^0 + M \rightarrow H^0$  ( $M$  — молекула или атом мишени). Во втором случае на датчик проходят также и вторичные нейтралы, рождающиеся по схеме (2)  $H^0 + M \rightarrow H^+ + M \rightarrow H^0$ .

Точками 1 на рис. 3 изображена зависимость набора поперечной энергии пучка  $E_{\perp} = \alpha_t^2 E$  от  $x$  — толщины газовой мишени Ar, измеряемой в единицах  $1/(\sigma^{01} + \sigma^{10})$ , при энергиях атомов водорода  $E$ , равных 5 кэВ, и наличии очищающего поля. Среднеквадратичный угол рассеяния пучка на мишени определялся из соотношения

$$\alpha_t^2 = (\sigma_t^2 - \sigma_0^2)/L^2$$

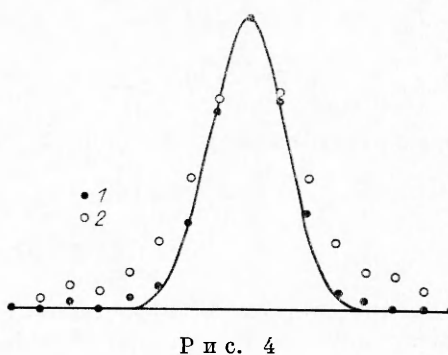
( $\sigma_0$  и  $\sigma_t$  — гауссовская ширина профилей пучка без мишени и при наличии мишени,  $L$  — расстояние от мишени до МВЭД). Как следует из рис. 3, набор поперечной энергии пропорционален толщине газовой мишени  $E_{\perp} = kx$ . Аналогичная пропорциональность установлена и для других газовых мишеней. В табл. 1 приводятся значения  $k$  для газовых мишеней  $H_2$ , He, Ar,  $O_2$  (условие А).

Разность профилей пучка, полученных в экспериментах без очищающего поля и с очищающим полем, представляет собой профиль пучка атомов водорода, имевших в области мишени промежуточные заряженные состояния (2). Среднеквадратичный угол рассеяния для таких частиц находится по формуле

$$\alpha_t^2 = (\sigma_d^2 - \sigma_0^2)/L^2$$

( $\sigma_d$  — гауссовская ширина разностного профиля). Точки 2 на рис. 3 изображают зависимость набора поперечной энергии  $E_{\perp} = \alpha_t^2 E$  пучка атомов водорода с энергией 9 кэВ, претерпевших двойную перезарядку на мишени Ar, от толщины мишени  $x$ , которая удовлетворительно аппроксимируется прямой линией:  $E_{\perp} = kx + E_0$  ( $E_0$  — среднее значение набора поперечной энергии при двойной перезарядке). Аналогичная линейная зависимость имеет место и для других газовых мишеней. В табл. 1 представлены значения  $E_0$  и  $k$  для газовых мишеней Ar и  $O_2$  (условие Б).

Проведенный анализ выполнен в рамках простой модели рассеяния на малые углы. Вместе с тем наблюдается рассеяние заметной части пучка на большие углы. У профиля прошедшего через мишень пучка появляется «штедстал», увеличивающийся с толщиной мишени. Для иллюстрации на рис. 4 приведен профиль исходного пучка (1) с аппроксимирующей его гауссовой кривой и профиль пучка (2), прошедшего мишень Ar толщиной  $5/(\sigma^{01} + \sigma^{10})$ , при энер-



гии пучка 11 кэВ. В результате более детального математического анализа данных (см. дополнение), полученных в экспериментах с включенным очищающим полем, определено дифференциальное сечение рассеяния  $\sigma^{00}(\theta)$  в диапазоне углов рассеяния  $10^{-3} \leq \theta \leq 10^{-2}$ . Зависимость  $\sigma^{00}(\theta)$  аппроксимировалась функцией Гаусса

$$\sigma^{00}(\theta) \approx A \frac{\sigma^{10} + \sigma^{01}}{2\pi\theta^2} \exp(-\theta^2/2\theta_0^2).$$

Параметры  $A$  и  $\theta_0$  для ряда мишней даны в табл. 2.

В ряде случаев, например рассеяния на Ar при энергии  $E = 9$  кэВ,  $\sigma^{00}(\theta)$  недостаточно хорошо описывается гауссовой функцией, с чем связана большая погрешность определения параметров. Для более детальной информации о дифференциальном сечении рассеяния необходимо увеличить количество измерительных каналов профилометра. Результаты показывают, что в процессах, не сопровождающихся перезарядкой, происходит рассеяние значительной части пучка атомов водорода на углы, гораздо большие характерных углов  $5 \cdot 10^{-4}$  рассеяния [10] при перезарядке протонов в атомы водорода.

Таким образом, использование пучка быстрых атомов водорода с низкой поперечной температурой и применение мишени оригинальной конструкции позволило реализовать простую методику исследования рассеяния быстрых атомов водорода на газовых мишениях и определить угловое расширение пучка быстрых атомов водорода на мишениях  $H_2$ , He, Ar, O<sub>2</sub>.

**Дополнение.** Экспериментальные профили отображают одномерное распределение плотности потока атомов водорода в плоскости МВЭД или, с учетом того что пучок сколлимирован перед влетом в газовую мишень, одномерное распределение атомов водорода по углам  $J_0(\alpha)$ . Дополнительная математическая обработка данных проводилась следующим образом. Масштаб углов растягивается так, что угловая апертура МВЭД становится равной  $2\pi$ , и экспериментальный профиль пучка заменяется периодической функцией с периодом  $2\pi$ . При условии, что плотность пучка на краях апертуры датчика незначительна, подобная замена не влияет на результат. Полученное распределение подвергается дискретному преобразованию Фурье [11]. Если таким образом изменить масштаб углов одномерных парциальных дифференциальных сечений рассеяния

$$\bar{\sigma}^{ij}(\theta) = \int \sigma^{ij}(\sqrt{\theta^2 + \alpha^2}) d\alpha$$

( $\sigma^{ij}(\theta)$  — дифференциальное сечение рассеяния с переходом из  $i$ -го в  $j$ -е зарядовое состояние  $H^0, H^+$ ) и разложить их в ряд Фурье

$$\bar{\sigma}_k^{ij} = \frac{1}{\pi} \int_{-\pi}^{\pi} \bar{\sigma}^{ij}(\varphi) \cos k\varphi d\varphi,$$

то уравнения, описывающие изменение функций распределения частиц пучка по углам  $J_0(\alpha)$  и  $J_1(\alpha)$ , для нейтральной и заряженной компонент

$$\frac{\partial}{\partial x} J_0(\alpha) = \int [\bar{\sigma}^{00}(\varphi)(J_0(\alpha - \varphi) - J_0(\alpha)) + \bar{\sigma}^{10}(\varphi)J_1(\alpha - \varphi) - \bar{\sigma}^{01}(\varphi)J_0(\alpha)] d\varphi,$$

$$\frac{\partial}{\partial x} J_1(\alpha) = \int [\bar{\sigma}^{11}(\varphi)(J_1(\alpha - \varphi) - J_1(\alpha)) + \bar{\sigma}^{01}(\varphi)J_0(\alpha - \varphi) - \bar{\sigma}^{10}(\varphi)J_1(\alpha)] d\varphi$$

преобразуются в уравнения для гармоник

$$(3) \quad \begin{aligned} \frac{\partial}{\partial x} J_0^k &= \pi (\bar{\sigma}_k^{00} - \bar{\sigma}_0^{00}) J_0^k + \pi (\bar{\sigma}_k^{10} J_1^k - \bar{\sigma}_0^{01} J_0^k), \\ \frac{\partial}{\partial x} J_1^k &= \pi (\bar{\sigma}_k^{11} - \bar{\sigma}_0^{11}) J_1^k + \pi (\bar{\sigma}_k^{01} J_0^k - \bar{\sigma}_0^{10} J_1^k). \end{aligned}$$

Решение системы (3) представляет собой сумму из двух экспонент. Следовательно, задача отыскания дифференциальных сечений рассеяния

дится к подгонке комбинаций двух экспонент для каждой гармоники профилей, снятых при разных толщинах мишеней.

В случае экспериментов с включенным очищающим полем, когда заряженные компоненты пучка выводятся из апертуры,

$$J_0^k = A \exp(\pi (\bar{\sigma}_k^{00} - \bar{\sigma}_0^{00} - \bar{\sigma}_0^{01}) x)$$

( $x$  — толщина мишени). При этом

$$\ln(J_0^k(x)/J_0^0(x)) = \pi (\bar{\sigma}_k^{00} - \bar{\sigma}_0^{00})x.$$

На рис. 5 приведен спектр сечения рассеяния без перезарядки  $H^0$  с энергией 11 кэВ на мишени Ar, полученный путем подгонки прямых линий под значения  $\ln(J_0^k/J_0^0)$ , определенные из экспериментальных профилей. Там же отображен спектр гауссовой кривой, наилучшим образом аппроксимирующей полученное распределение. Ей соответствует сечение рассеяния

$$\sigma(\theta) = \frac{0,4 (\varepsilon^{10} + \varepsilon^{01})}{2\pi\theta_0^2} \exp(-\theta^2/2\theta_0^2)$$

с углом  $\theta_0 = 3,6 \cdot 10^{-3}$  рад.

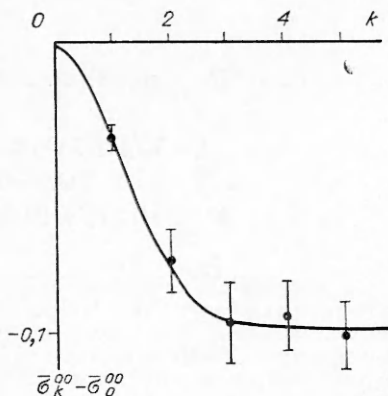


Рис. 5.

#### ЛИТЕРАТУРА

1. Димов Г. И., Савченко О. Я. Увеличение интенсивности пучков отрицательных ионов и атомов водорода от импульсного ионного источника // ЖТФ.— 1968.— Т. 38, № 11.
2. Баткин В. И., Гетманов В. Н. Аналого-цифровой интерфейс и оперативное измерение фазового объема пучка на ЭВМ Электроника-100И // ПТЭ.— 1983.— № 5.
3. Баткин В. И., Гетманов В. Н., Савченко О. Я., Хусаинов Р. А. Диагностика плазменной струи сеточными электродами // ПМТФ.— 1982.— № 6.
4. Баткин В. И., Гетманов В. Н., Савченко О. Я. Повышение яркости пучка дугового источника протонов // ПТЭ.— 1984.— № 1.
5. Баткин В. И., Гетманов В. Н., Савченко О. Я., Хусаинов Р. А. Влияние газовых мишеней на угловой разброс в пучке быстрых атомов водорода // VIII Всесоюз. конф. по физике электронных и атомных столкновений: Тез. докл.— Л.: ЛИЯФ.— 1981.
6. Allison S. K. Experimental results on charge-changing collisions of hydrogen and helium atoms and ions at kinetic energies above 0,2 kev // Rev. Mod. Phys.— 1958.— V. 30, N 4.
7. Стародубцев С. В., Романов А. М. Прохождение заряженных частиц через вещество.— Ташкент: Изд-во АН УзССР, 1962.
8. Федоренко Н. В. Потеря и захват электронов атомами, протонами и отрицательными ионами водорода при столкновениях с атомами и молекулами. Экспериментальные данные о сечениях // ЖТФ.— 1970.— Т. 40, № 12.
9. Tawara H., Russek A. Charge-changing processes in hydrogen beams // Rev. Mod. Phys.— 1973.— V. 45, N 2.
10. Wittkover A. B., Gilbodi H. B. An experimental study of small angle scattering in charge-transfer collisions // Proc. Phys. Soc.— 1967.— V. 90, N 2.
11. Справочник по специальным функциям/Под ред. М. Абрамовица, И. Стиган.— М.: Наука, 1979.

г. Новосибирск

Поступила 27/I 1987 г.,  
в окончательном варианте — 29/I 1989 г.